

APPROSSIMAZIONE DI BORN

$$\hat{H} = \frac{\hat{p}^2}{2m} + V(z) \equiv \hat{H}_0 + V(z) \quad \sigma_c(\hat{H}) = \sigma_c(\hat{H}_0) = [0, \infty[$$

$W = W^{(0)} > 0$ troviamo le autofunz. perturbative:

$$\psi(\vec{x}) = \psi^{(0)}(\vec{x}) + \lambda \psi^{(1)}(\vec{x}) + \lambda^2 \psi^{(2)}(\vec{x}) + \dots$$

All'ordine zero:

$$-\frac{\hbar^2}{2m} \nabla^2 \psi^{(0)}(\vec{x}) = W \psi^{(0)}(\vec{x})$$

Al primo:

$$-\frac{\hbar^2}{2m} \nabla^2 \psi^{(1)}(\vec{x}) + V(z) \psi^{(0)}(\vec{x}) = W \psi^{(1)}(\vec{x})$$

Al secondo:

$$-\frac{\hbar^2}{2m} \nabla^2 \psi^{(2)}(\vec{x}) + V(z) \psi^{(1)}(\vec{x}) = W \psi^{(2)}(\vec{x})$$

e generalmente:

$$-\frac{\hbar^2}{2m} \nabla^2 \psi^{(m)}(\vec{x}) + V(z) \psi^{(m-1)}(\vec{x}) = W \psi^{(m)}(\vec{x})$$

Per il problema della diffusione siamo interessati a comportamenti oscillatori del tipo:

$$u_{\vec{p}}^{(+)}(\vec{x}) \xrightarrow{2 \rightarrow \infty} \frac{1}{(2\pi\hbar)^{\frac{3}{2}}} \left[e^{\frac{i}{\hbar} \vec{p} \cdot \vec{x}} + f(\vec{p}; \partial_{\vec{p}\vec{x}}) \frac{1}{2} e^{\frac{i}{\hbar} \vec{p} \cdot \vec{x}} \right]$$

All'ordine zero abbiamo una particella imperturbata;

$$u_{\vec{p}}^{(0)}(\vec{x}) = \frac{1}{(2\pi\hbar)^{\frac{3}{2}}} e^{i\vec{p} \cdot \vec{x}} \longrightarrow f^{(0)}(\vec{p}; \partial_{\vec{p}\vec{x}}) = 0$$

All'ordine n :

$$u_{\vec{p}}^{(n)}(\vec{x}) \xrightarrow{2 \rightarrow \infty} \frac{1}{(2\pi\hbar)^{\frac{3}{2}}} f^{(n)}(\vec{p}; \partial_{\vec{p}\vec{x}}) \frac{e^{i\vec{p} \cdot \vec{x}}}{2}$$

con $f^{(n)}(\vec{p}; \partial_{\vec{p}\vec{x}})$ tale che: $f(\vec{p}; \partial_{\vec{p}\vec{x}}) = \sum_n f^{(n)}(\vec{p}; \partial_{\vec{p}\vec{x}})$

le $u^{(n)}(\vec{x})$ sono sol. di: EQ. DI HELMOLTZ

$$(\nabla^2 + k^2) u^{(n)}(\vec{x}) = j^{(n)}(\vec{x}) \quad \text{con} \quad k = \frac{p}{\hbar} = \frac{\sqrt{2m|V|}}{\hbar}$$

$$\text{e } j^{(n)}(\vec{x}) = \frac{2m}{\hbar^2} V(\vec{x}) u^{(n-1)}(\vec{x})$$

Dobbiamo trovare la funzione di Green, consideriamo l'eq. di Poisson:

$$\nabla^2 \varphi(\vec{x}) = J(\vec{x}) \Rightarrow \varphi(\vec{x}) = -\frac{1}{4\pi} \int d^3x' \frac{1}{|\vec{x} - \vec{x}'|} J(\vec{x}')$$

da cui $\varphi(\vec{x}) \propto \frac{1}{r}$

La funz. di Green dell'eq. di Poisson è:

$$\tilde{G}(\vec{x}-\vec{x}') = -\frac{1}{4\pi} \frac{1}{|\vec{x}-\vec{x}'|} \quad \text{tale che:}$$

$$\nabla^2 \tilde{G}(\vec{x}-\vec{x}') = \delta^{(3)}(\vec{x}-\vec{x}')$$

Per l'eq. di Helmholtz invece:

$$(\nabla^2 + k^2) G(\vec{x}-\vec{x}') = \delta^{(3)}(\vec{x}-\vec{x}')$$

$$G(\frac{\vec{x}}{r}) \xrightarrow{r \rightarrow \infty} \frac{e^{ikr}}{r} \Rightarrow G(\vec{x}-\vec{x}') = -\frac{1}{4\pi} \frac{e^{ik|\vec{x}-\vec{x}'|}}{|\vec{x}-\vec{x}'|}$$

come $H_0^{(m)}(\vec{x})$

Per verificare che la Green sia questa consideriamo:

$$\nabla^2 = \nabla^2(\frac{\vec{x}}{r}) = \frac{1}{r^2} \left(\frac{r^2}{r} \right) + \frac{1}{r^2} \left[\frac{1}{\sin^2 \theta} \frac{\partial}{\partial \theta} \left(\sin^2 \theta \frac{\partial}{\partial \theta} \right) + \frac{1}{\sin^2 \theta} \frac{\partial^2}{\partial \varphi^2} \right]$$

Notiamo che: $G(\vec{x}-\vec{x}') = \tilde{G}(\vec{x}-\vec{x}') e^{ik|\vec{x}-\vec{x}'|}$

$$\begin{aligned} \Rightarrow \nabla^2 G(\vec{x}-\vec{x}') &= (\nabla^2 \tilde{G}(\vec{x}-\vec{x}')) e^{ik|\vec{x}-\vec{x}'|} + 2 \vec{\nabla} \tilde{G}(\vec{x}-\vec{x}') \cdot \vec{\nabla} e^{ik|\vec{x}-\vec{x}'|} + \\ &+ \tilde{G}(\vec{x}-\vec{x}') \nabla^2 e^{ik|\vec{x}-\vec{x}'|} \Rightarrow \nabla^2(f \cdot g) = (\nabla^2 f)g + 2 \vec{\nabla} f \cdot \vec{\nabla} g + f(\nabla^2 g) \\ &= \delta^{(3)}(\vec{x}-\vec{x}') + 2 \frac{\partial}{\partial \vec{x}} \tilde{G}(\vec{x}) \frac{\partial}{\partial \vec{x}} e^{ik\vec{x}} + \tilde{G}(\vec{x}) \frac{1}{r^2} \frac{\partial}{\partial \vec{x}} (r^2 e^{ik\vec{x}}) = \\ &= \delta^{(3)}(\vec{x}-\vec{x}') - k^2 G(\vec{x}-\vec{x}') \Rightarrow (\nabla^2 + k^2) G(\vec{x}-\vec{x}') = \delta^{(3)}(\vec{x}-\vec{x}') \end{aligned}$$

$\Rightarrow G(\vec{x}-\vec{x}') \bar{e}$ sol. dell'eq. di Helmholtz.

Avremo quindi:

$$\mu^{(n)}(\vec{x}) = \int d^3x' G(\vec{x} - \vec{x}') \psi^{(n)}(\vec{x}') = \frac{2M}{\hbar^2} \int d^3x' G(\vec{x} - \vec{x}') U(\vec{x}') \mu^{(n-1)}(\vec{x}')$$

dove $U(\vec{x})$ è un potenziale qualunque.

Al primo ordine quindi:

$$\mu^{(1)}(\vec{x}) = -\frac{1}{(2\pi\hbar)^{\frac{3}{2}}} \frac{2M}{\hbar^2} \int d^3x' \frac{e^{i\kappa|\vec{x}-\vec{x}'|}}{4\pi|\vec{x}-\vec{x}'|} U(\vec{x}') e^{\frac{i}{\hbar} \vec{p} \cdot \vec{x}'}$$

da $\mu^{(1)}$ possiamo trovare $\mu^{(2)}$ e così via...

$$\mu^{(2)}(\vec{x}) = \frac{1}{(2\pi\hbar)^{\frac{3}{2}}} \left(\frac{2M}{\hbar^2} \right)^2 \int d^3x' \int d^3x'' G(\vec{x} - \vec{x}') G(\vec{x} - \vec{x}'') U(\vec{x}') U(\vec{x}'') e^{\frac{i}{\hbar} \vec{p} \cdot \vec{x}''}$$

↳ SERIE DI BORN: SOMMANDO TUTTI I TERMINI SI OTTIENE L'ESPRESSIONE ESATTA PER $\psi(\vec{r}; \vec{p}_x)$.

Studiamo ora il comportamento asintotico di $\mu^{(1)}(\vec{x})$:

$$|\vec{x} - \vec{x}'| \xrightarrow{r \rightarrow \infty} r - \frac{\vec{x} \cdot \vec{x}'}{r} + o\left(\frac{1}{r}\right)$$

$$\frac{1}{|\vec{x} - \vec{x}'|} \xrightarrow{r \rightarrow \infty} \frac{1}{r} + o\left(\frac{1}{r^2}\right)$$

Ci interessano solo i termini dell'ordine di $\frac{1}{r}$.

* L'APPROSSIMAZIONE DI BORN TIENE CONTO SOLO DEL PRIMO TERMINE.

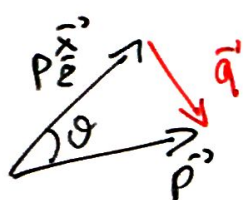
$$u_{\vec{p}}^{(1)}(\vec{x}') \xrightarrow{E \rightarrow \infty} - \frac{1}{(2\pi\hbar)^{3/2}} \frac{1}{E} e^{\frac{i}{\hbar} p E} \frac{m}{2\pi\hbar} \int d^3x' U(x') e^{\frac{i}{\hbar} (\vec{p}' - p \frac{\vec{x}'}{2}) \cdot \vec{x}'} \quad \text{con } \left(\frac{1}{2}\right)$$

Confrontando con le condit. asintotiche otteniamo:

$$f^{(1)}(\vec{p}; \partial_{\vec{p}_x}) = - \frac{m}{2\pi\hbar^2} \int d^3x' U(x') e^{\frac{i}{\hbar} (\vec{p}' - p \frac{\vec{x}'}{2}) \cdot \vec{x}'}$$

e quindi: $\sigma(p, \theta) = |f^{(1)}(p; \partial_{\vec{p}_x})|^2 \rightarrow$ se $U(x)$ non è centrale c'è anche φ .

Nel caso di un potenziale centrale definiamo:

$$\vec{q}' = \vec{p}' - p \frac{\vec{x}'}{2}$$


Definiamo un sistema di coordinate polari per \vec{q}' :

$$\vec{x}' \equiv \vec{x}'(r', \alpha, \beta)$$

$$\Rightarrow f^{(1)}(p; \partial_{\vec{p}_x}) = - \frac{m}{2\pi\hbar^2} \int_0^\infty dr' r'^2 e^{\frac{i}{\hbar} \vec{q}' \cdot \vec{r}'} U(r') \int_0^\pi d\alpha \sin\alpha d\alpha \int_0^{2\pi} d\beta =$$

$$= - \frac{m}{\hbar^2} \int_0^\infty dr' r'^2 U(r') \int_{-1}^1 dq e^{\frac{i}{\hbar} q r'} \quad \text{con } q = \cos\alpha \quad dq = -\sin\alpha d\alpha$$

$\vec{q}' \cdot \vec{r}' = q r' \cos\alpha$

$$\Rightarrow f^{(1)}(p; \partial_{\vec{p}_x}) = - \frac{2m}{\hbar^2} \int_0^\infty dr' r' U(r') \sin\left(\frac{q r'}{\hbar}\right)$$

$$q^2 = 4p^2 \sin^2\left(\frac{\theta}{2}\right) \longrightarrow 2p^2(1 - \cos(\theta))$$

$$\Rightarrow f^{(1)}(p; \partial_{\vec{p}} \vec{x}) = - \frac{2m}{\hbar^2 p \sin(\frac{\partial \vec{x}}{2})} \int_0^\infty d\vec{z}' z'^{\nu} \sin \left[\frac{1}{\hbar} \left| \vec{p} - p \frac{\vec{x}'}{2} \right| z' \right] U(z')$$

questo metodo funziona per $\frac{\hbar}{p} \ll b \rightarrow p$ grandi!

Vediamo come applicare questo metodo per il **potenziale di Yukawa**:

$$U(z) = -g \frac{e^{-\mu z}}{z} \quad \text{con } \mu = \frac{1}{b} \rightarrow \text{Inverso del raggio d'azione}$$

$$f^{(1)}(p; \partial_{\vec{p}} \vec{x}) = \frac{2m g}{\hbar^2 q} \int_0^\infty dz e^{-\mu z} \sin\left(\frac{qz}{\hbar}\right) =$$

$$= \frac{m}{i \hbar^2 q} g \int_0^\infty dz e^{-\mu z} \left(e^{i \frac{q}{\hbar} z} - e^{-i \frac{q}{\hbar} z} \right) = \frac{2m g}{\hbar^2} \frac{1}{\left(\frac{q}{\hbar}\right)^2 + \mu^2} =$$

$$= \frac{2m}{\hbar^2} \frac{g}{4 \frac{p^2}{\hbar^2} \sin^2\left(\frac{\partial \vec{x}}{2}\right) + \mu^2}$$

Per il **potenziale Coulombiano** che non è a corto range, possiamo considerare il pot. di Yukawa per $\mu \rightarrow 0$ e $g = -Z_1 Z_2 e^2$, ottenendo:

$$f^{(1)}(p, \partial_{\vec{p}} \vec{x}) = - \frac{m Z_1 Z_2 e^2}{2 p^2 \sin^2\left(\frac{\partial \vec{x}}{2}\right)} \rightarrow \text{In accordo con Rutherford!}$$

Dal calcolo esatto si ottiene invece:

$$f_c(p, \theta_2) = \left(-\frac{m z_1 z_2 e_0^2}{2p \sin^2(\frac{\theta_2}{2})} \right) \exp \left\{ i \left[-\frac{m z_1 z_2 e_0^2}{\hbar p} \log \left[\sin^2\left(\frac{\theta_2}{2}\right) + 2\eta_0 \right] \right] \right\}$$

$$\text{con } \eta_0 = \arg \Gamma \left(1 + i m \frac{z_1 z_2 e_0^2}{\hbar p} \right)$$

Che differisce dalla formula approx. solo per un fattore di fase $\Rightarrow \sigma$ è la stessa!

Analizz. adesso un'approx. che fa uso delle perturbazioni dipendenti dal tempo, di cui richiamiamo i risultati:

$$\hat{H} = \hat{H}_0 + \hat{H}_1 \quad \text{con } H_0 |m\rangle = W_m^{(0)} |m\rangle \rightarrow \text{Spettro di } H_0 \text{ puramente discreto.}$$

Consideriamo la transiz. $|m\rangle \rightarrow |k\rangle$:

$$P_k(t) = 4 |(H_1)_{km}|^2 \frac{1}{(W_k^{(0)} - W_m^{(0)})^2} \sin^2 \frac{(W_k^{(0)} - W_m^{(0)}) t}{2}$$

$$\text{con } (H_1)_{km} = \langle k | \hat{H}_1 | m \rangle.$$

Supp. di avere delle grandezze \vec{k} tali che:

$$[\vec{k}, \hat{H}_0] = 0 \Rightarrow |m\rangle = |W_m^{(0)}, k_s\rangle \Rightarrow \vec{k} \text{ costanti del moto imperturbato}$$

Se per fissati valori di K_S gli autovalori di H_0 sono abbastanza fitti da poter essere considerati continui posso avere:

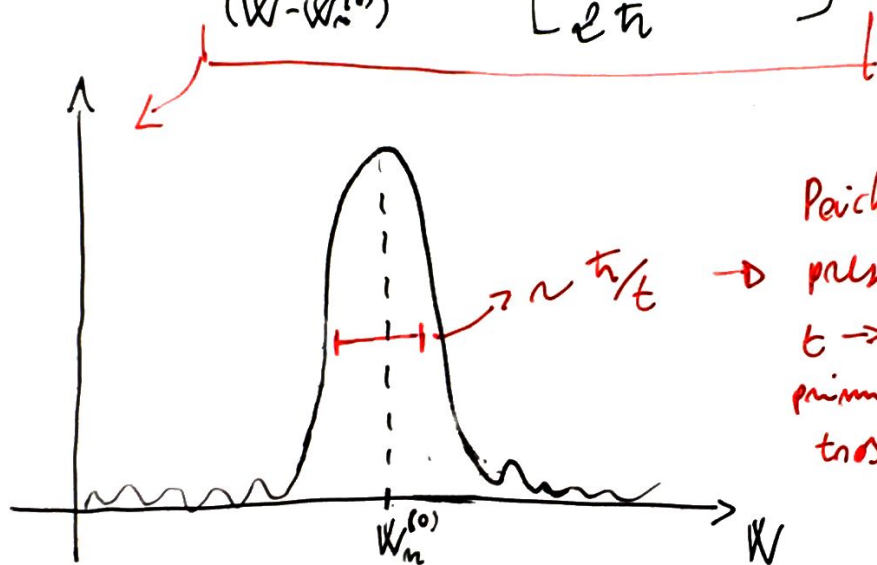
DENSITA' DEGLI STATI

$$dW_0 \rho(W^0, K_S) = \left\{ \# |W_n^{(0)}, K_S\rangle : W^{(0)} < W_n^{(0)} < W^{(0)} + dW \right\}$$

La prob. di avere lo stato K_S' al tempo t sarà:

$$P(K_S' | t) = \int_{W_0}^{\infty} dW \rho(W, K_S) 4 \left| \langle W, K_S' | \hat{H}_1 | W_n^{(0)}, K_S \rangle \right|^2 \times$$

$$\times \frac{1}{(W - W_n^{(0)})^2} \sin^2 \left[\frac{(W - W_n^{(0)})t}{2\hbar} \right]$$



Perché l'ultimo termine presenta un picco, per $t \rightarrow \infty$ le variazioni dei primi e termini sono trascurabili \Rightarrow escono dall'integrale.

$$P(K_S' | t) \xrightarrow{t \rightarrow \infty} \rho(W_n^{(0)}, K_S) 4 \left| \langle W_n^{(0)} | K_S' | \hat{H}_1 | W_n^{(0)}, K_S \rangle \right|^2 \times$$

$$\times \int_{-\infty}^{\infty} dW \underbrace{\frac{\sin^2[(W - W_n^{(0)})t/2\hbar]}{(W - W_n^{(0)})^2}}_{\sim \frac{\pi}{2\hbar} t \delta(W - W_n^{(0)})} \rightarrow \frac{2\pi t}{\hbar} \left| \langle W_n^{(0)} | K_S' | \hat{H}_1 | W_n^{(0)}, K_S \rangle \right|^2 \times P(W_n^{(0)}, K_S')$$

Si ottiene la **regola d'oro di Fermi**:

$$\frac{dP}{dt}(K_f) = \frac{2\pi}{\hbar} |\langle W_n^{(0)}, K_f | \hat{H}_1 | W_n^{(0)}, K_i \rangle|^2 \rho(W_n^{(0)}, K_f)$$

Applichiamo questi risultati allo scattering con pot. centrale, dove sostituiamo la particella libera con una part. che si propaga in una scatola cubica di lato L per avere spettro discreto per H_0 :

$$\mathbb{R}^3 \rightarrow C = \{\vec{x} : |x| < \frac{L}{2}, |y| < \frac{L}{2}, |z| < \frac{L}{2}\} \quad \text{COND. PERIODICHE AL CONFINAMENTO}$$

$$L^2(\mathbb{R}^3) = L^2(C) \quad \psi \in L^2(C) : \psi(-\frac{L}{2}, y, z) = \psi(\frac{L}{2}, y, z) \text{ anche per } y \text{ e } z$$

Le autofunz. di \vec{P} e di H_0 saranno:

$$\mu_{\vec{p}}(\vec{x}) = \frac{1}{L^{3/2}} e^{\frac{i}{\hbar} \vec{p} \cdot \vec{x}} \text{ con } \vec{p} = (m_x \frac{2\pi\hbar}{L}, m_y \frac{2\pi\hbar}{L}, m_z \frac{2\pi\hbar}{L})$$

$$\Rightarrow H_0 \mu_{\vec{p}}(\vec{x}) = W_n^{(0)} \mu_{\vec{p}}(\vec{x})$$

$$\text{Lo stato iniziale sarà: } \mu_{\vec{p}_0}(\vec{x}) = \frac{1}{L^{3/2}} e^{\frac{i}{\hbar} \vec{p}_0 \cdot \vec{x}}$$

Vogliamo determinare la prob. di transiz. in uno stato finale con direz. \hat{p}_f .

Dovremo calcolare \int .

$$d^3P = \Delta p_x \Delta p_y \Delta p_z = \left(\frac{2\pi\hbar}{L} \right)^3 d^3V = p^2 dp d\Omega$$

→ numero di punti nell'angolo $d\Omega$ con impulso tra p e $p+dp$

$$\#(d^3V) = \left(\frac{L}{2\pi\hbar} \right)^3 p^2 dp d\Omega = \left(\frac{L}{2\pi\hbar} \right)^3 m p dW d\Omega = \rho(W, \hat{e}) dW d\Omega$$

è vettore
direz. di
diffusione

$$\Rightarrow dP = \frac{2\pi}{n} |\langle \psi_{p_0, \hat{e}} | \hat{H}_i | \psi_{p_0} \rangle|^2 \left(\frac{L}{2\pi\hbar} \right)^3 m p_0 d\Omega =$$

$$= \frac{1}{L^3} \frac{m p_0}{(2\pi)^2 \hbar^4} \left| \int d^3x U(\vec{r}) e^{\frac{i}{\hbar} (\vec{p}_0 - p_0 \hat{e}) \cdot \vec{r}} \right|^2 d\Omega$$